

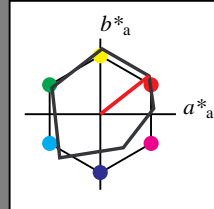
Eingabe: Farbmatisches Offset-Reflektiv-System ORS18

für Buntton  $h^* = lab \cdot h = 38/360 = 0.106$  $lab \cdot tch$  und  $lab \cdot nch$ 

D65: Buntton O

LCH\*Ma: 48 82 38

olv\*Ma: 1.0 0.0 0.0



ORS18; adaptierte CIELAB-Daten

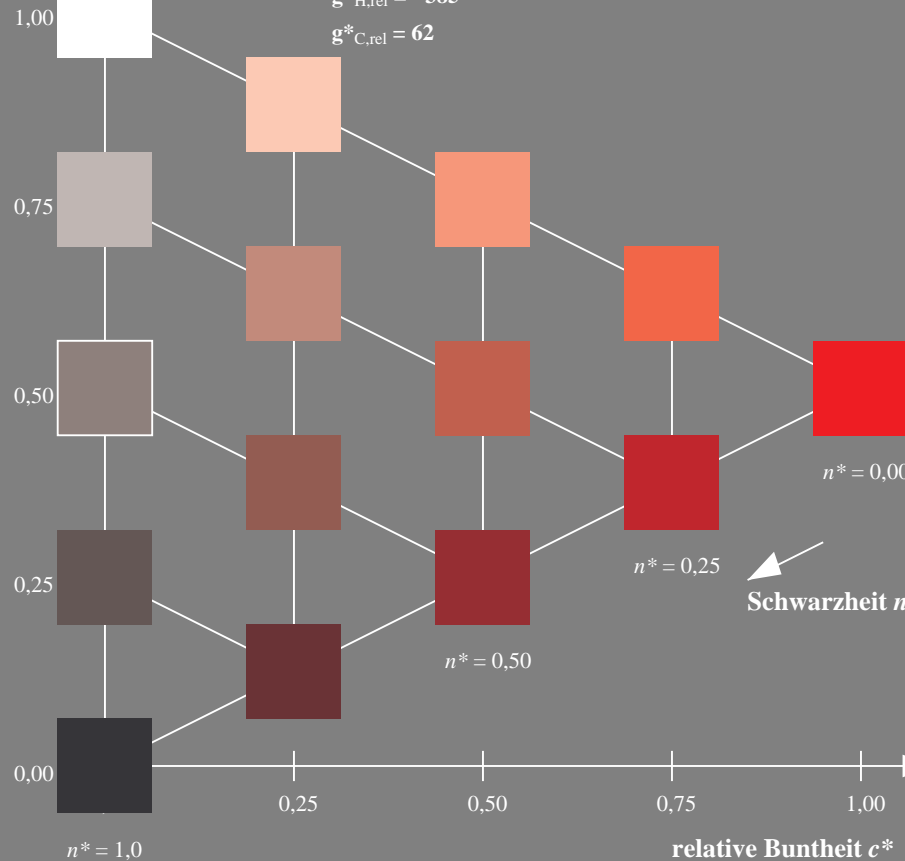
	$L^*=L^*_a$	$a^*_a$	$b^*_a$	$C^*_{ab,a}$	$h^*_{ab,a}$
O <sub>m</sub>	47.94	64.42	50.58	81.9	38
Y <sub>m</sub>	92.62	2.41	86.36	86.39	88
L <sub>m</sub>	50.9	-63.82	35.02	72.81	151
C <sub>m</sub>	51.25	-53.68	-57.69	78.82	227
V <sub>m</sub>	25.72	30.34	-44.37	53.76	304
M <sub>m</sub>	56.25	70.59	7.57	70.99	6
N <sub>m</sub>	18.11	0.0	0.0	0.0	0
W <sub>m</sub>	95.6	0.0	0.0	0.0	0
R <sub>CIE</sub>	47.79	60.85	41.08	73.41	34
J <sub>CIE</sub>	83.82	6.52	66.9	67.22	84
G <sub>CIE</sub>	49.0	-36.83	2.78	36.95	176
B <sub>CIE</sub>	25.14	-18.35	-56.22	59.15	252

Dreiecks-Helligkeit  $t^*$ 

%Umfang

 $u^*_{rel} = 96$ 

%Regularität

 $g^*_{H,rel} = -385$  $g^*_{C,rel} = 62$ SG200-7, 5 stufige Reihen für konstanten CIELAB Buntton  $38/360 = 0.106$  (links)BAM-Prüfvorlage SG20; Farbmatrik-Systeme ORS18 & ORS18 input:  $cmY0^* setcmykcolor$ 

A: Koordinatensysteme; 5stufige Farbreihen für 10 Bunttöne

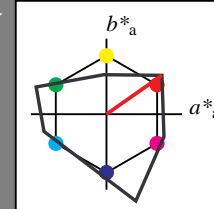
Ausgabe: Farbmatisches Fernseh-Licht-System TLS00

für Buntton  $h^* = lab \cdot h = 35/360 = 0.097$  $LAB \cdot LCH$ ,  $LAB \cdot NCH$ 

D65: Buntton O

LCH\*Ma: 66 90 35

olv\*Ma: 1.0 0.0 0.0



TLS00; adaptierte CIELAB-Daten

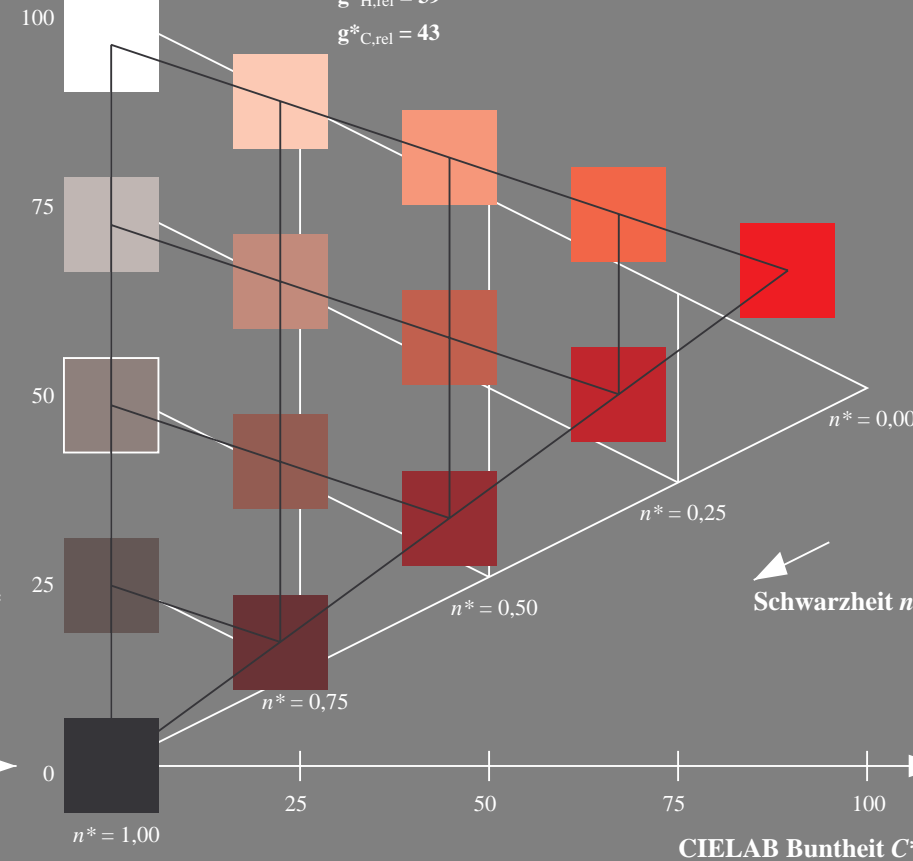
	$L^*=L^*_a$	$a^*_a$	$b^*_a$	$C^*_{ab,a}$	$h^*_{ab,a}$
O <sub>m</sub>	65.56	73.34	51.39	89.55	35
Y <sub>m</sub>	94.78	-3.49	52.24	52.36	94
L <sub>m</sub>	77.48	-92.97	36.0	99.71	159
C <sub>m</sub>	78.36	-82.69	-22.74	85.77	195
V <sub>m</sub>	12.55	38.81	-114.81	121.2	289
M <sub>m</sub>	66.71	76.08	-29.8	81.71	339
N <sub>m</sub>	0.01	0.0	0.0	0.0	0
W <sub>m</sub>	95.41	0.0	0.0	0.0	0
R <sub>CIE</sub>	47.79	61.74	42.56	74.99	35
J <sub>CIE</sub>	83.82	7.06	70.78	71.13	84
G <sub>CIE</sub>	49.0	-35.95	4.34	36.22	173
B <sub>CIE</sub>	25.14	-17.24	-56.24	58.84	253

CIELAB-Helligkeit  $L^*$ 

%Umfang

 $u^*_{rel} = 141$ 

%Regularität

 $g^*_{H,rel} = 39$  $g^*_{C,rel} = 43$ 5 stufige Reihen für konstanten CIELAB Buntton  $35/360 = 0.097$  (rechts)

output: Startup (S) data dependend

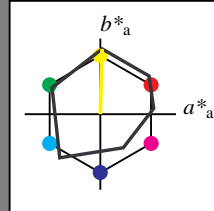
Eingabe: Farbmatisches Offset-Reflektiv-System ORS18

für Buntton  $h^* = lab^*h = 88/360 = 0.246$  $lab^*tch$  und  $lab^*nch$ 

D65: Buntton Y

LCH\*Ma: 93 86 88

olv\*Ma: 1.0 1.0 0.0



ORS18; adaptierte CIELAB-Daten

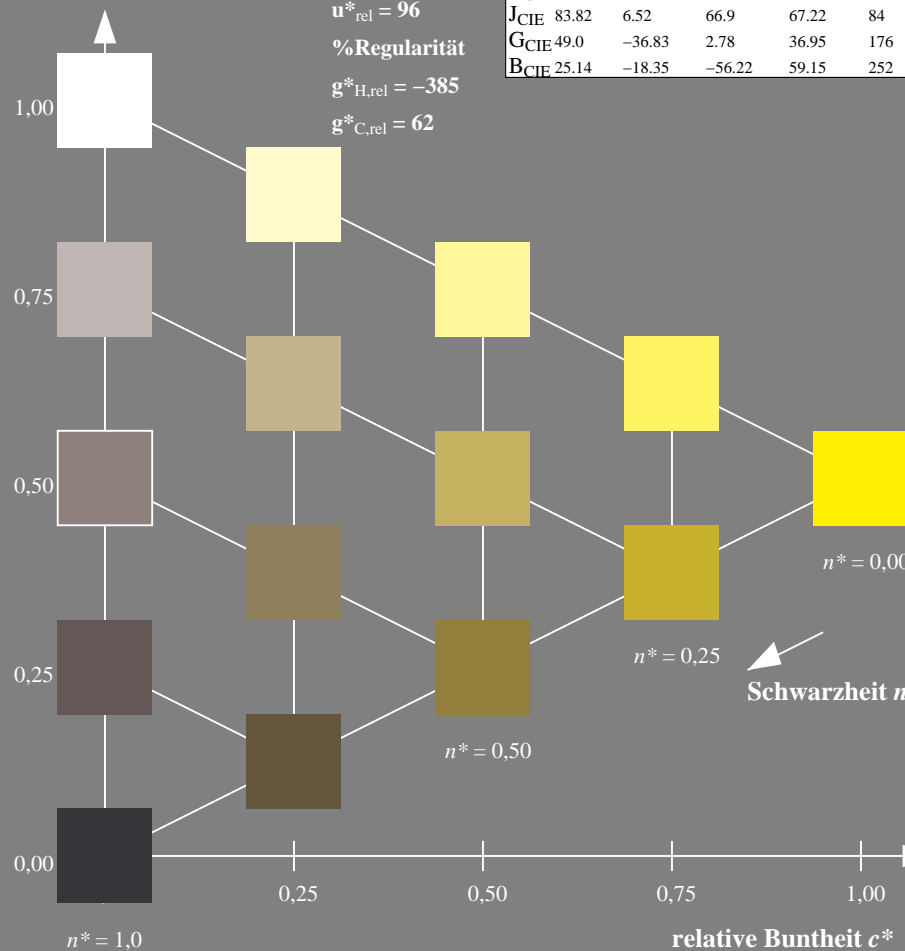
	$L^*=L^*_a$	$a^*_a$	$b^*_a$	$C^*_{ab,a}$	$h^*_{ab,a}$
O <sub>m</sub>	47.94	64.42	50.58	81.9	38
Y <sub>m</sub>	92.62	2.41	86.36	86.39	88
L <sub>m</sub>	50.9	-63.82	35.02	72.81	151
C <sub>m</sub>	51.25	-53.68	-57.69	78.82	227
V <sub>m</sub>	25.72	30.34	-44.37	53.76	304
M <sub>m</sub>	56.25	70.59	7.57	70.99	6
N <sub>m</sub>	18.11	0.0	0.0	0.0	0
W <sub>m</sub>	95.6	0.0	0.0	0.0	0
R <sub>CIE</sub>	47.79	60.85	41.08	73.41	34
J <sub>CIE</sub>	83.82	6.52	66.9	67.22	84
G <sub>CIE</sub>	49.0	-36.83	2.78	36.95	176
B <sub>CIE</sub>	25.14	-18.35	-56.22	59.15	252

Dreiecks-Helligkeit  $t^*$ 

%Umfang

 $u^*_{rel} = 96$ 

%Regularität

 $g^*_{H,rel} = -385$  $g^*_{C,rel} = 62$ SG200-7, 5 stufige Reihen für konstanten CIELAB Buntton  $88/360 = 0.246$  (links)BAM-Prüfvorlage SG20; Farbmatrik-Systeme ORS18 & ORS18 input: *cmY0\* setcmykcolor*

A: Koordinatensysteme; 5stufige Farbreihen für 10 Bunttöne

output: *Startup (S) data dependend*

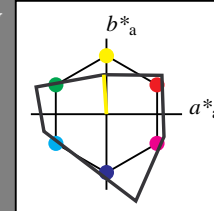
Ausgabe: Farbmatisches Fernseh-Licht-System TLS00

für Buntton  $h^* = lab^*h = 94/360 = 0.261$  $LAB^*LCH, LAB^*NCH$ 

D65: Buntton Y

LCH\*Ma: 95 52 94

olv\*Ma: 1.0 1.0 0.0



TLS00; adaptierte CIELAB-Daten

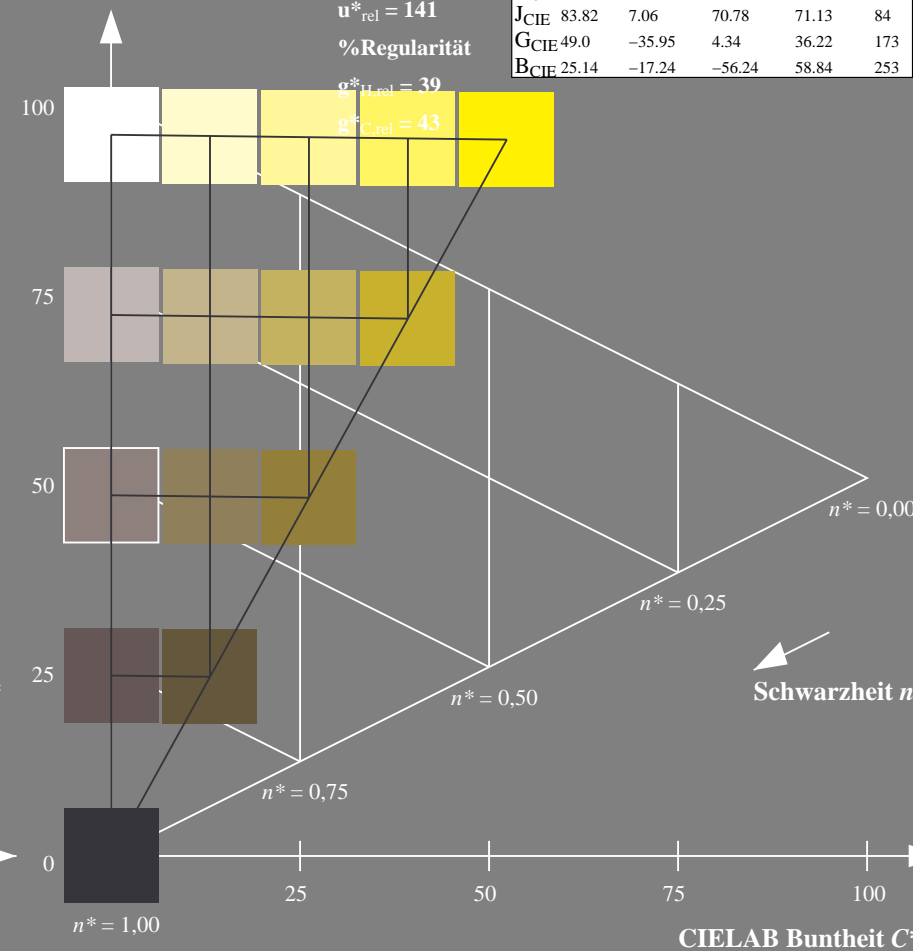
	$L^*=L^*_a$	$a^*_a$	$b^*_a$	$C^*_{ab,a}$	$h^*_{ab,a}$
O <sub>m</sub>	65.56	73.34	51.39	89.55	35
Y <sub>m</sub>	94.78	-3.49	52.24	52.36	94
L <sub>m</sub>	77.48	-92.97	36.0	99.71	159
C <sub>m</sub>	78.36	-82.69	-22.74	85.77	195
V <sub>m</sub>	12.55	38.81	-114.81	121.2	289
M <sub>m</sub>	66.71	76.08	-29.8	81.71	339
N <sub>m</sub>	0.01	0.0	0.0	0.0	0
W <sub>m</sub>	95.41	0.0	0.0	0.0	0
R <sub>CIE</sub>	47.79	61.74	42.56	74.99	35
J <sub>CIE</sub>	83.82	7.06	70.78	71.13	84
G <sub>CIE</sub>	49.0	-35.95	4.34	36.22	173
B <sub>CIE</sub>	25.14	-17.24	-56.24	58.84	253

CIELAB-Helligkeit  $L^*$ 

%Umfang

 $u^*_{rel} = 141$ 

%Regularität

 $g^*_{H,rel} = 39$  $g^*_{C,rel} = 43$ 5 stufige Reihen für konstanten CIELAB Buntton  $94/360 = 0.261$  (rechts)

Eingabe: Farbmétrisches Offset-Reflektiv-System ORS18

für Buntton  $h^* = lab^*h = 151/360 = 0.42$  $lab^*tch$  und  $lab^*nch$ 

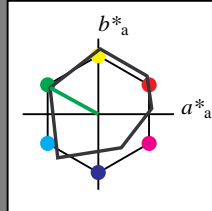
D65: Buntton L

LCH\*Ma: 51 73 151

olv\*Ma: 0.0 1.0 0.0

ORS18; adaptierte CIELAB-Daten

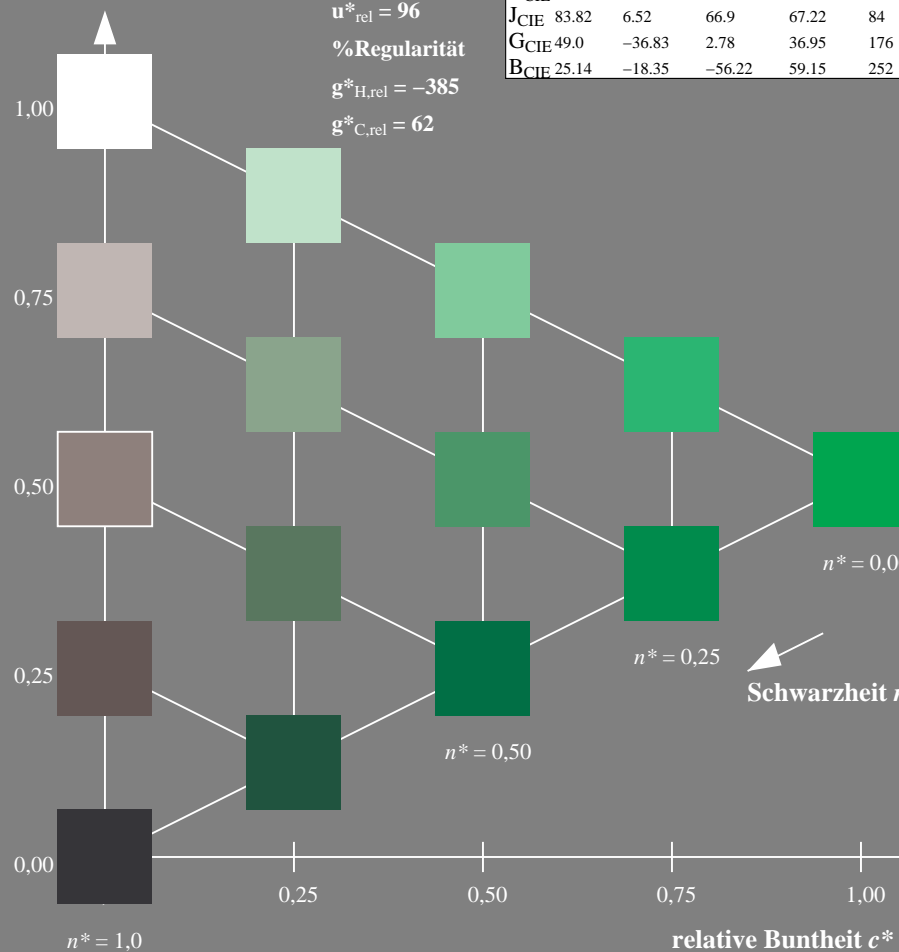
	$L^*=L^*_a$	$a^*_a$	$b^*_a$	$C^*_{ab,a}$	$h^*_{ab,a}$
O <sub>m</sub>	47.94	64.42	50.58	81.9	38
Y <sub>m</sub>	92.62	2.41	86.36	86.39	88
L <sub>m</sub>	50.9	-63.82	35.02	72.81	151
C <sub>m</sub>	51.25	-53.68	-57.69	78.82	227
V <sub>m</sub>	25.72	30.34	-44.37	53.76	304
M <sub>m</sub>	56.25	70.59	7.57	70.99	6
N <sub>m</sub>	18.11	0.0	0.0	0.0	0
W <sub>m</sub>	95.6	0.0	0.0	0.0	0
R <sub>CIE</sub>	47.79	60.85	41.08	73.41	34
J <sub>CIE</sub>	83.82	6.52	66.9	67.22	84
G <sub>CIE</sub>	49.0	-36.83	2.78	36.95	176
B <sub>CIE</sub>	25.14	-18.35	-56.22	59.15	252

Dreiecks-Helligkeit  $t^*$ 

%Umfang

 $u^*_{rel} = 96$ 

%Regularität

 $g^*_{H,rel} = -385$  $g^*_{C,rel} = 62$ 

SG200-7, 5 stufige Reihen für konstanten CIELAB Buntton 151/360 = 0.42 (links)

BAM-Prüfvorlage SG20; Farbmétrik-Systeme ORS18 & ORS18 input: *cmY0\* setcmykcolor*

A: Koordinatensysteme; 5stufige Farbreihen für 10 Bunttöne

Ausgabe: Farbmétrisches Fernseh-Licht-System TLS00

für Buntton  $h^* = lab^*h = 159/360 = 0.441$  $LAB^*LCH, LAB^*NCH$ 

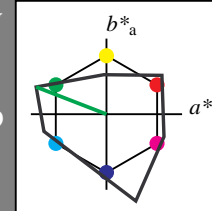
D65: Buntton L

LCH\*Ma: 77 100 159

olv\*Ma: 0.0 1.0 0.0

TLS00; adaptierte CIELAB-Daten

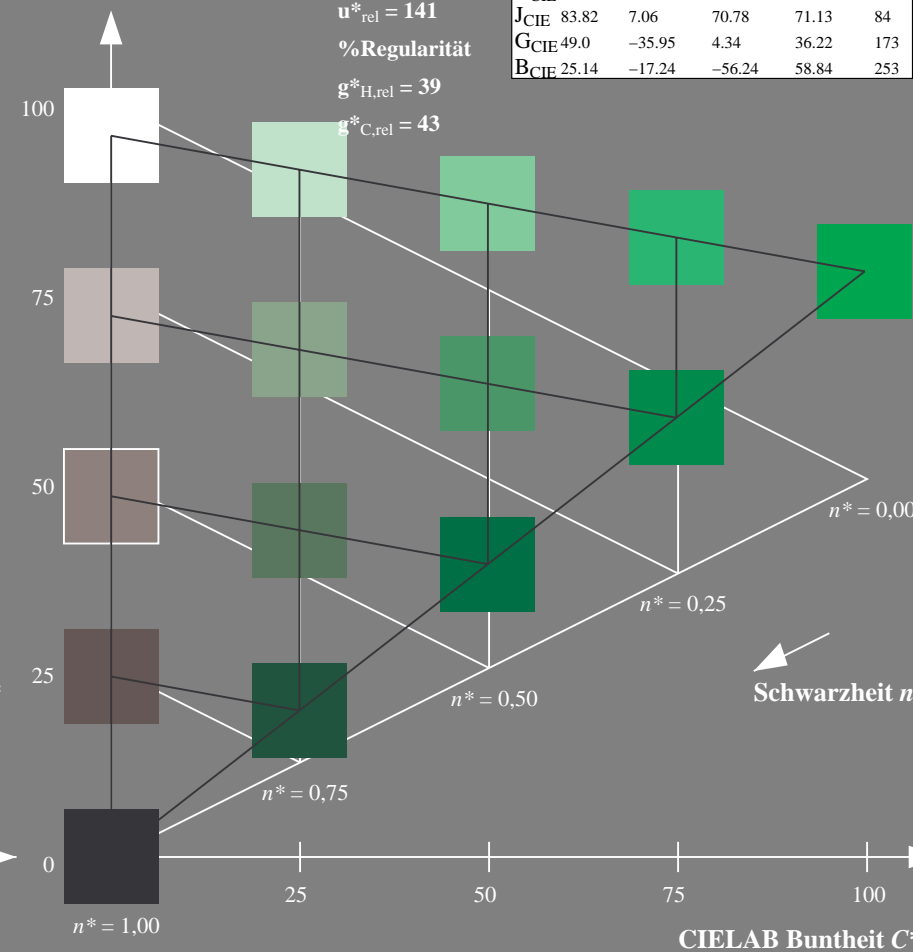
	$L^*=L^*_a$	$a^*_a$	$b^*_a$	$C^*_{ab,a}$	$h^*_{ab,a}$
O <sub>m</sub>	65.56	73.34	51.39	89.55	35
Y <sub>m</sub>	94.78	-3.49	52.24	52.36	94
L <sub>m</sub>	77.48	-92.97	36.0	99.71	159
C <sub>m</sub>	78.36	-82.69	-22.74	85.77	195
V <sub>m</sub>	12.55	38.81	-114.81	121.2	289
M <sub>m</sub>	66.71	76.08	-29.8	81.71	339
N <sub>m</sub>	0.01	0.0	0.0	0.0	0
W <sub>m</sub>	95.41	0.0	0.0	0.0	0
R <sub>CIE</sub>	47.79	61.74	42.56	74.99	35
J <sub>CIE</sub>	83.82	7.06	70.78	71.13	84
G <sub>CIE</sub>	49.0	-35.95	4.34	36.22	173
B <sub>CIE</sub>	25.14	-17.24	-56.24	58.84	253

CIELAB-Helligkeit  $L^*$ 

%Umfang

 $u^*_{rel} = 141$ 

%Regularität

 $g^*_{H,rel} = 39$  $g^*_{C,rel} = 43$ 

5 stufige Reihen für konstanten CIELAB Buntton 159/360 = 0.441 (rechts)

output: *Startup (S) data dependend*

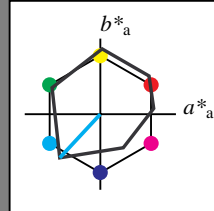
Eingabe: Farbmatisches Offset-Reflektiv-System ORS18

für Buntton  $h^* = lab^*h = 227/360 = 0.631$  $lab^*tch$  und  $lab^*nch$ 

D65: Buntton C

LCH\*Ma: 51 79 227

olv\*Ma: 0.0 1.0 1.0



ORS18; adaptierte CIELAB-Daten

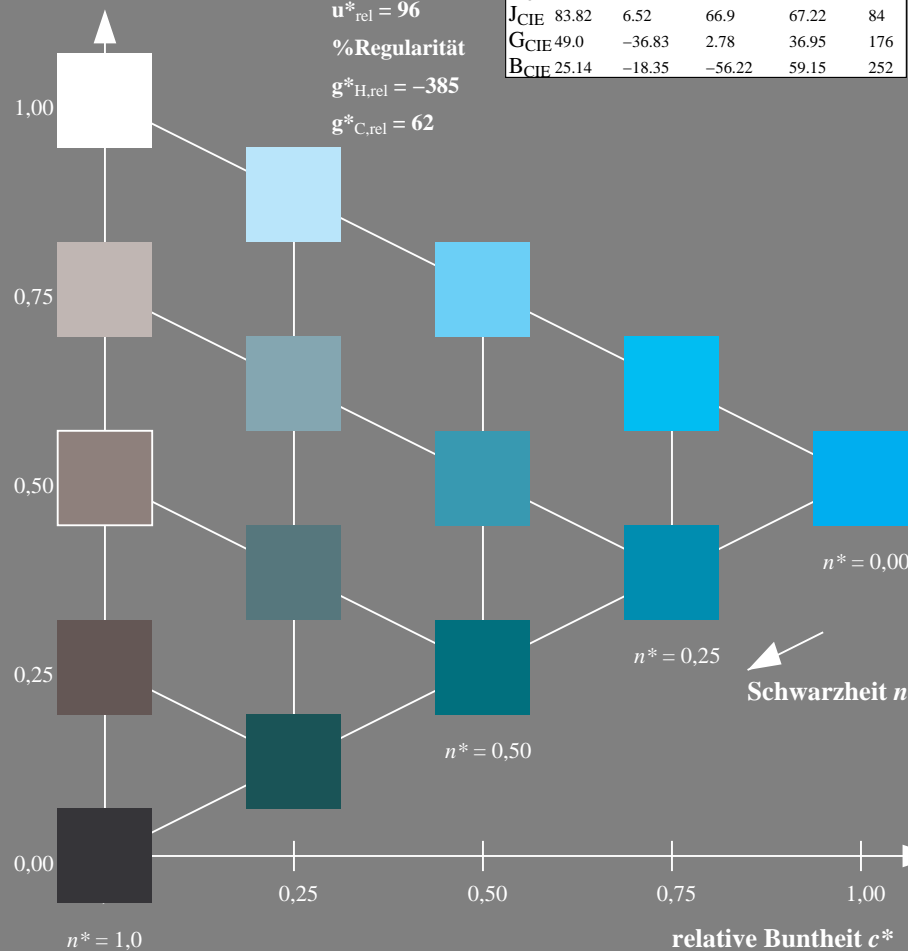
	$L^*=L^*_a$	$a^*_a$	$b^*_a$	$C^*_{ab,a}$	$h^*_{ab,a}$
O <sub>m</sub>	47.94	64.42	50.58	81.9	38
Y <sub>m</sub>	92.62	2.41	86.36	86.39	88
L <sub>m</sub>	50.9	-63.82	35.02	72.81	151
C <sub>m</sub>	51.25	-53.68	-57.69	78.82	227
V <sub>m</sub>	25.72	30.34	-44.37	53.76	304
M <sub>m</sub>	56.25	70.59	7.57	70.99	6
N <sub>m</sub>	18.11	0.0	0.0	0.0	0
W <sub>m</sub>	95.6	0.0	0.0	0.0	0
R <sub>CIE</sub>	47.79	60.85	41.08	73.41	34
J <sub>CIE</sub>	83.82	6.52	66.9	67.22	84
G <sub>CIE</sub>	49.0	-36.83	2.78	36.95	176
B <sub>CIE</sub>	25.14	-18.35	-56.22	59.15	252

Dreiecks-Helligkeit  $t^*$ 

%Umfang

 $u^*_{rel} = 96$ 

%Regularität

 $g^*_{H,rel} = -385$  $g^*_{C,rel} = 62$ 

SG200-7, 5 stufige Reihen für konstanten CIELAB Buntton 227/360 = 0.631 (links)

BAM-Prüfvorlage SG20; Farbmatrik-Systeme ORS18 & ORS18 input: *cmY0\* setcmykcolor*

A: Koordinatensysteme; 5stufige Farbreihen für 10 Bunttöne

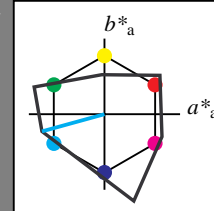
Ausgabe: Farbmatisches Fernseh-Licht-System TLS00

für Buntton  $h^* = lab^*h = 195/360 = 0.543$  $LAB^*LCH$ ,  $LAB^*NCH$ 

D65: Buntton C

LCH\*Ma: 78 86 195

olv\*Ma: 0.0 1.0 1.0



TLS00; adaptierte CIELAB-Daten

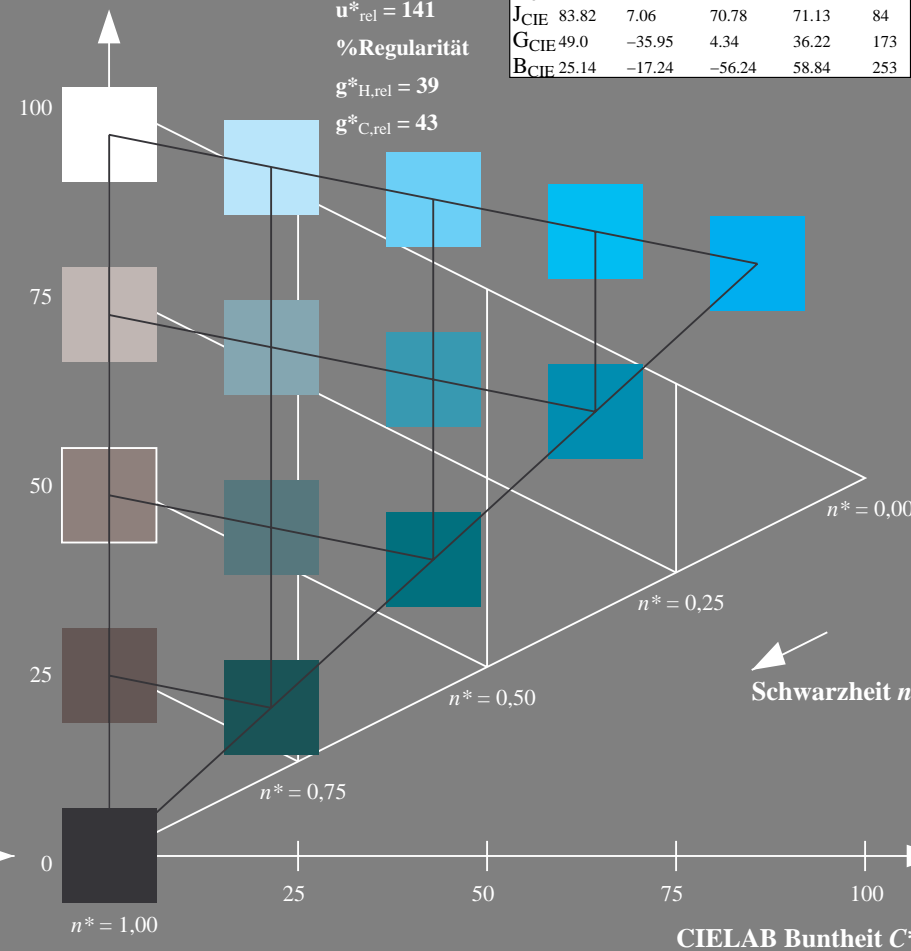
	$L^*=L^*_a$	$a^*_a$	$b^*_a$	$C^*_{ab,a}$	$h^*_{ab,a}$
O <sub>m</sub>	65.56	73.34	51.39	89.55	35
Y <sub>m</sub>	94.78	-3.49	52.24	52.36	94
L <sub>m</sub>	77.48	-92.97	36.0	99.71	159
C <sub>m</sub>	78.36	-82.69	-22.74	85.77	195
V <sub>m</sub>	12.55	38.81	-114.81	121.2	289
M <sub>m</sub>	66.71	76.08	-29.8	81.71	339
N <sub>m</sub>	0.01	0.0	0.0	0.0	0
W <sub>m</sub>	95.41	0.0	0.0	0.0	0
R <sub>CIE</sub>	47.79	61.74	42.56	74.99	35
J <sub>CIE</sub>	83.82	7.06	70.78	71.13	84
G <sub>CIE</sub>	49.0	-35.95	4.34	36.22	173
B <sub>CIE</sub>	25.14	-17.24	-56.24	58.84	253

CIELAB-Helligkeit  $L^*$ 

%Umfang

 $u^*_{rel} = 141$ 

%Regularität

 $g^*_{H,rel} = 39$  $g^*_{C,rel} = 43$ 

5 stufige Reihen für konstanten CIELAB Buntton 195/360 = 0.543 (rechts)

output: *Startup (S) data dependend*

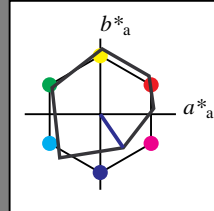
Eingabe: Farbmatisches Offset-Reflektiv-System ORS18

für Buntton  $h^* = lab^*h = 304/360 = 0.845$  $lab^*tch$  und  $lab^*nch$ 

D65: Buntton V

LCH\*Ma: 26 54 304

olv\*Ma: 0.0 0.0 1.0



ORS18; adaptierte CIELAB-Daten

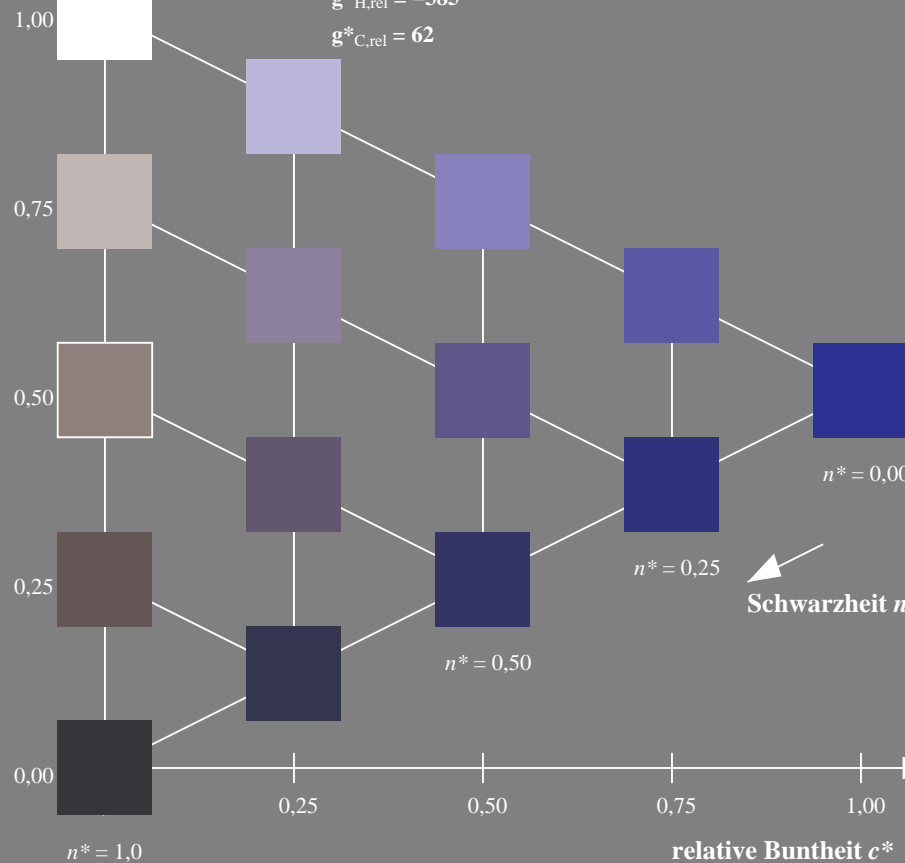
	$L^*=L^*_a$	$a^*_a$	$b^*_a$	$C^*_{ab,a}$	$h^*_{ab,a}$
O <sub>m</sub>	47.94	64.42	50.58	81.9	38
Y <sub>m</sub>	92.62	2.41	86.36	86.39	88
L <sub>m</sub>	50.9	-63.82	35.02	72.81	151
C <sub>m</sub>	51.25	-53.68	-57.69	78.82	227
V <sub>m</sub>	25.72	30.34	-44.37	53.76	304
M <sub>m</sub>	56.25	70.59	7.57	70.99	6
N <sub>m</sub>	18.11	0.0	0.0	0.0	0
W <sub>m</sub>	95.6	0.0	0.0	0.0	0
R <sub>CIE</sub>	47.79	60.85	41.08	73.41	34
J <sub>CIE</sub>	83.82	6.52	66.9	67.22	84
G <sub>CIE</sub>	49.0	-36.83	2.78	36.95	176
B <sub>CIE</sub>	25.14	-18.35	-56.22	59.15	252

Dreiecks-Helligkeit  $t^*$ 

%Umfang

 $u^*_{rel} = 96$ 

%Regularität

 $g^*_{H,rel} = -385$  $g^*_{C,rel} = 62$ 

SG200-7, 5 stufige Reihen für konstanten CIELAB Buntton 304/360 = 0.845 (links)

BAM-Prüfvorlage SG20; Farbmatrik-Systeme ORS18 & ORS18 input: *cmY0\* setcmykcolor*

A: Koordinatensysteme; 5stufige Farbreihen für 10 Bunttöne

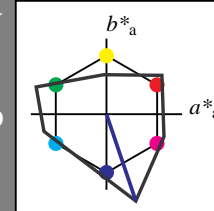
Ausgabe: Farbmatisches Fernseh-Licht-System TLS00

für Buntton  $h^* = lab^*h = 289/360 = 0.802$  $LAB^*LCH$ ,  $LAB^*NCH$ 

D65: Buntton V

LCH\*Ma: 13 121 289

olv\*Ma: 0.0 0.0 1.0



TLS00; adaptierte CIELAB-Daten

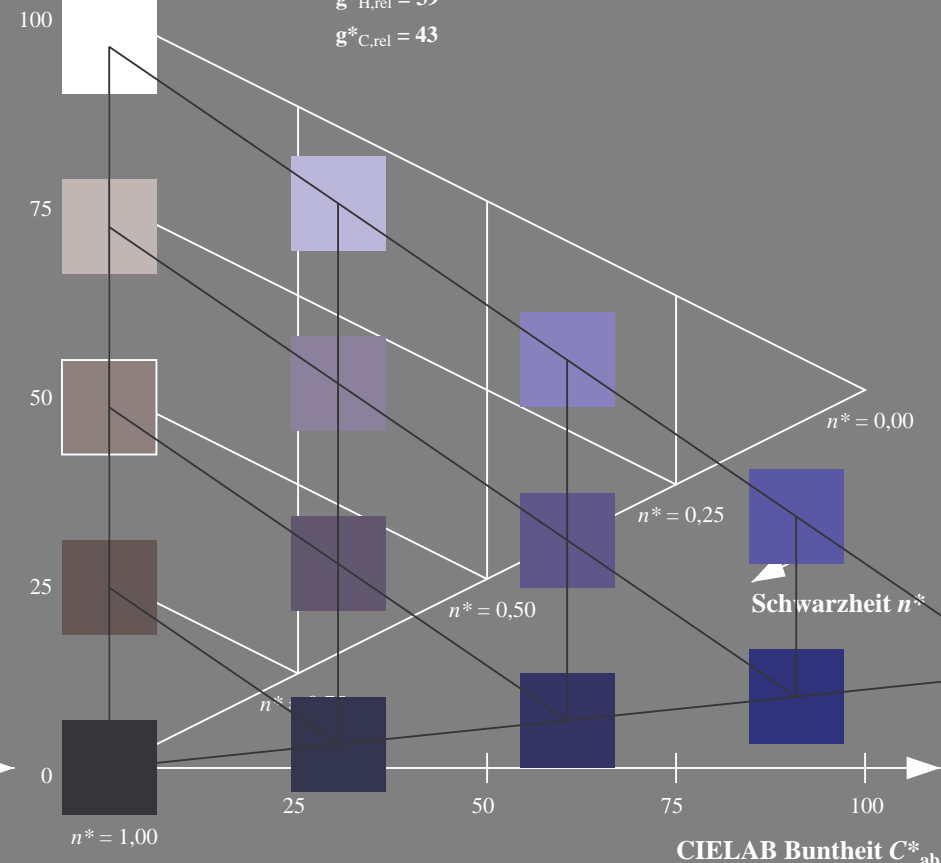
	$L^*=L^*_a$	$a^*_a$	$b^*_a$	$C^*_{ab,a}$	$h^*_{ab,a}$
O <sub>m</sub>	65.56	73.34	51.39	89.55	35
Y <sub>m</sub>	94.78	-3.49	52.24	52.36	94
L <sub>m</sub>	77.48	-92.97	36.0	99.71	159
C <sub>m</sub>	78.36	-82.69	-22.74	85.77	195
V <sub>m</sub>	12.55	38.81	-114.81	121.2	289
M <sub>m</sub>	66.71	76.08	-29.8	81.71	339
N <sub>m</sub>	0.01	0.0	0.0	0.0	0
W <sub>m</sub>	95.41	0.0	0.0	0.0	0
R <sub>CIE</sub>	47.79	61.74	42.56	74.99	35
J <sub>CIE</sub>	83.82	7.06	70.78	71.13	84
G <sub>CIE</sub>	49.0	-35.95	4.34	36.22	173
B <sub>CIE</sub>	25.14	-17.24	-56.24	58.84	253

CIELAB-Helligkeit  $L^*$ 

%Umfang

 $u^*_{rel} = 141$ 

%Regularität

 $g^*_{H,rel} = 39$  $g^*_{C,rel} = 43$ 

5 stufige Reihen für konstanten CIELAB Buntton 289/360 = 0.802 (rechts)

output: *Startup (S) data dependend*

Eingabe: Farbmatisches Offset-Reflektiv-System ORS18

für Buntton  $h^* = lab \cdot h = 6/360 = 0.017$  $lab \cdot tch$  und  $lab \cdot nch$ 

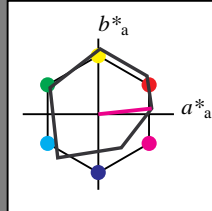
D65: Buntton M

LCH\*Ma: 56 71 6

olv\*Ma: 1.0 0.0 1.0

ORS18; adaptierte CIELAB-Daten

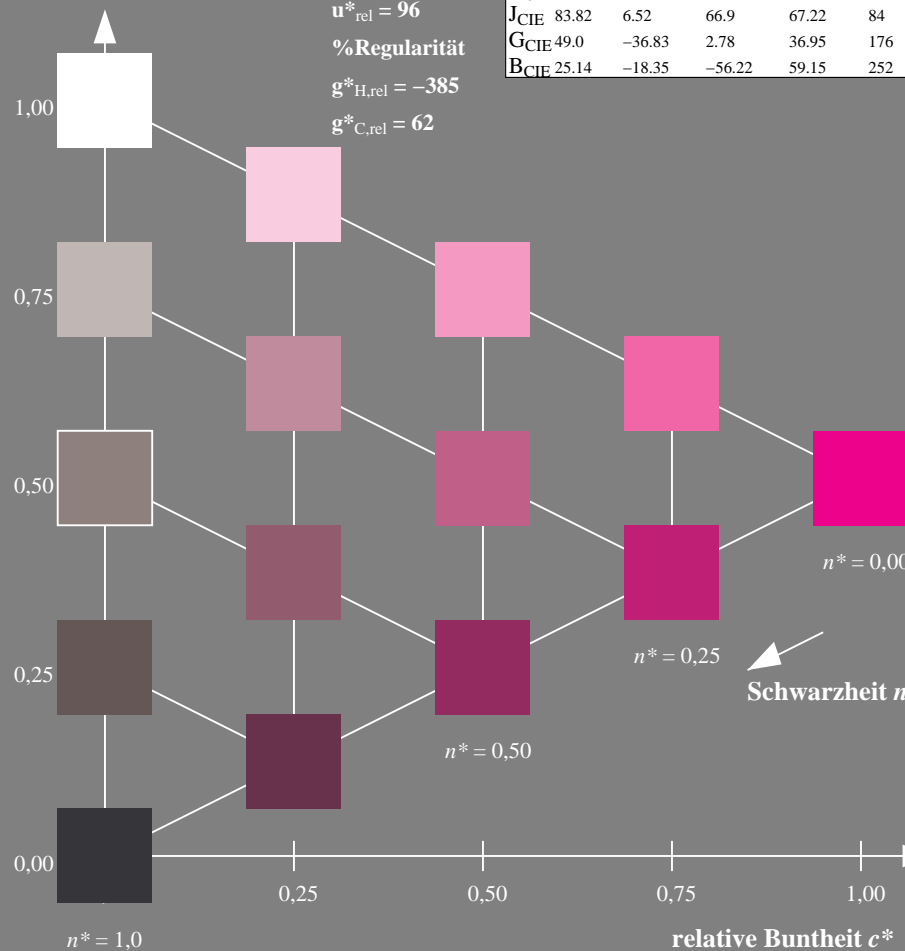
	$L^*=L^*_a$	$a^*_a$	$b^*_a$	$C^*_{ab,a}$	$h^*_{ab,a}$
O <sub>m</sub>	47.94	64.42	50.58	81.9	38
Y <sub>m</sub>	92.62	2.41	86.36	86.39	88
L <sub>m</sub>	50.9	-63.82	35.02	72.81	151
C <sub>m</sub>	51.25	-53.68	-57.69	78.82	227
V <sub>m</sub>	25.72	30.34	-44.37	53.76	304
M <sub>m</sub>	56.25	70.59	7.57	70.99	6
N <sub>m</sub>	18.11	0.0	0.0	0.0	0
W <sub>m</sub>	95.6	0.0	0.0	0.0	0
R <sub>CIE</sub>	47.79	60.85	41.08	73.41	34
J <sub>CIE</sub>	83.82	6.52	66.9	67.22	84
G <sub>CIE</sub>	49.0	-36.83	2.78	36.95	176
B <sub>CIE</sub>	25.14	-18.35	-56.22	59.15	252

Dreiecks-Helligkeit  $t^*$ 

%Umfang

 $u^*_{rel} = 96$ 

%Regularität

 $g^*_{H,rel} = -385$  $g^*_{C,rel} = 62$ SG200-7, 5 stufige Reihen für konstanten CIELAB Buntton  $6/360 = 0.017$  (links)BAM-Prüfvorlage SG20; Farbmeter-Systeme ORS18 & ORS18 input: *cmY0\* setcmykcolor*

A: Koordinatensysteme; 5stufige Farbreihen für 10 Bunttöne

Ausgabe: Farbmatisches Fernseh-Licht-System TLS00

für Buntton  $h^* = lab \cdot h = 339/360 = 0.941$  $LAB \cdot LCH$ ,  $LAB \cdot NCH$ 

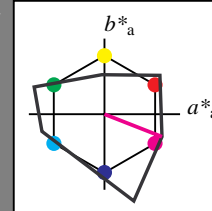
D65: Buntton M

LCH\*Ma: 67 82 339

olv\*Ma: 1.0 0.0 1.0

TLS00; adaptierte CIELAB-Daten

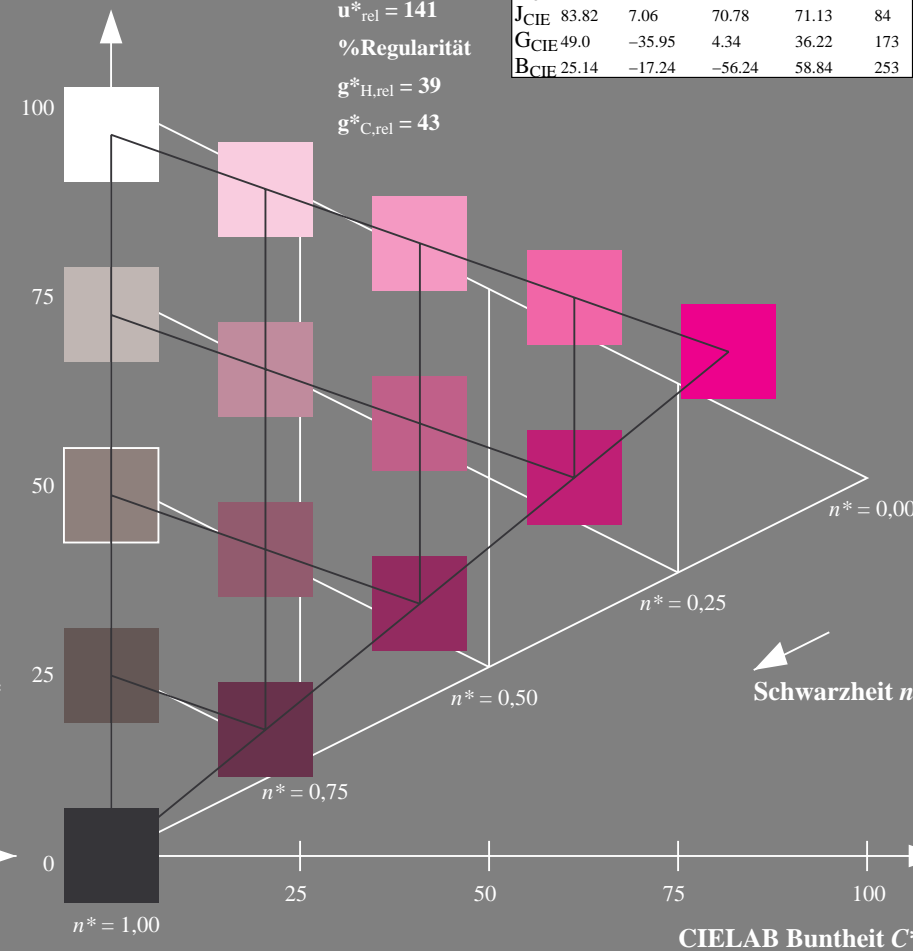
	$L^*=L^*_a$	$a^*_a$	$b^*_a$	$C^*_{ab,a}$	$h^*_{ab,a}$
O <sub>m</sub>	65.56	73.34	51.39	89.55	35
Y <sub>m</sub>	94.78	-3.49	52.24	52.36	94
L <sub>m</sub>	77.48	-92.97	36.0	99.71	159
C <sub>m</sub>	78.36	-82.69	-22.74	85.77	195
V <sub>m</sub>	12.55	38.81	-114.81	121.2	289
M <sub>m</sub>	66.71	76.08	-29.8	81.71	339
N <sub>m</sub>	0.01	0.0	0.0	0.0	0
W <sub>m</sub>	95.41	0.0	0.0	0.0	0
R <sub>CIE</sub>	47.79	61.74	42.56	74.99	35
J <sub>CIE</sub>	83.82	7.06	70.78	71.13	84
G <sub>CIE</sub>	49.0	-35.95	4.34	36.22	173
B <sub>CIE</sub>	25.14	-17.24	-56.24	58.84	253

CIELAB-Helligkeit  $L^*$ 

%Umfang

 $u^*_{rel} = 141$ 

%Regularität

 $g^*_{H,rel} = 39$  $g^*_{C,rel} = 43$ 5 stufige Reihen für konstanten CIELAB Buntton  $339/360 = 0.941$  (rechts)output: *Startup (S) data dependend*

Eingabe: Farbmatisches Offset-Reflektiv-System ORS18

für Buntton  $h^* = lab \cdot h = 34/360 = 0.095$  $lab \cdot tch$  und  $lab \cdot nch$ 

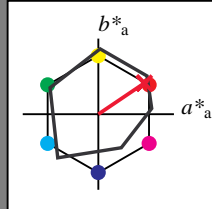
D65: Buntton R

LCH\*Ma: 49 79 34

olv\*Ma: 1.0 0.0 0.15

ORS18; adaptierte CIELAB-Daten

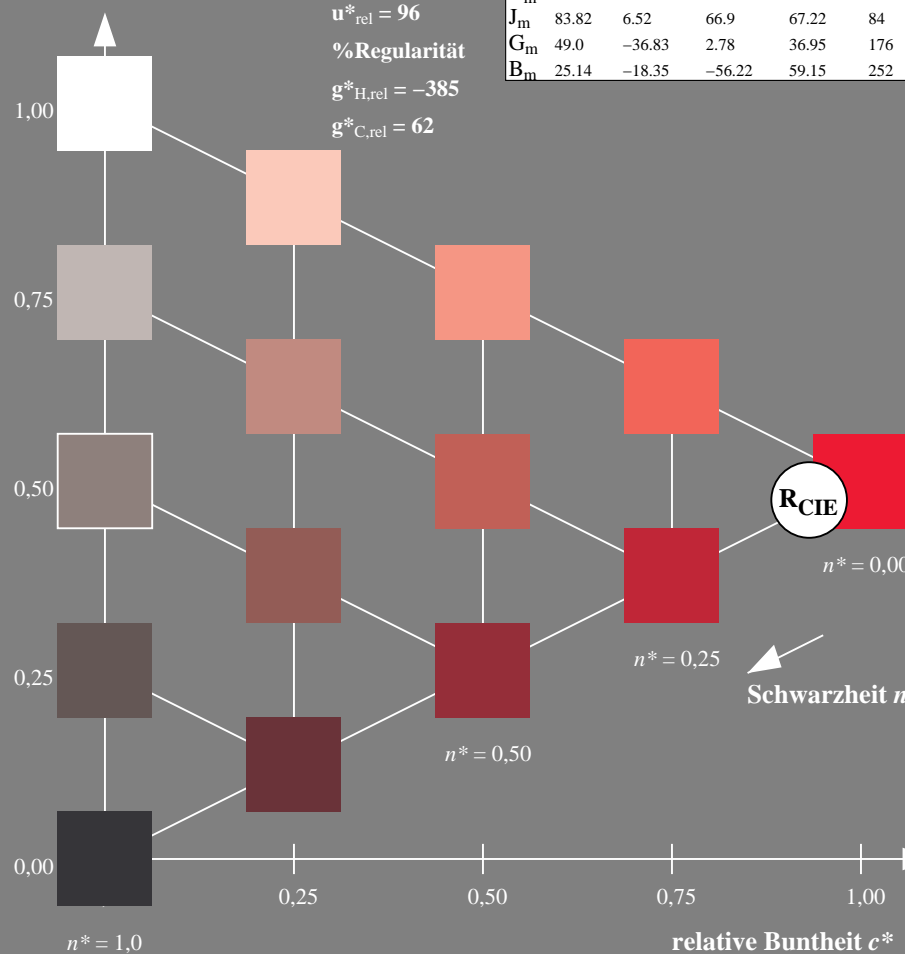
	$L^*=L^*_a$	$a^*_a$	$b^*_a$	$C^*_{ab,a}$	$h^*_{ab,a}$
O <sub>m</sub>	47.94	64.42	50.58	81.9	38
Y <sub>m</sub>	92.62	2.41	86.36	86.39	88
L <sub>m</sub>	50.9	-63.82	35.02	72.81	151
C <sub>m</sub>	51.25	-53.68	-57.69	78.82	227
V <sub>m</sub>	25.72	30.34	-44.37	53.76	304
M <sub>m</sub>	56.25	70.59	7.57	70.99	6
N <sub>m</sub>	18.11	0.0	0.0	0.0	0
W <sub>m</sub>	95.6	0.0	0.0	0.0	0
R <sub>m</sub>	47.79	60.85	41.08	73.41	34
J <sub>m</sub>	83.82	6.52	66.9	67.22	84
G <sub>m</sub>	49.0	-36.83	2.78	36.95	176
B <sub>m</sub>	25.14	-18.35	-56.22	59.15	252

Dreiecks-Helligkeit  $t^*$ 

%Umfang

 $u^*_{rel} = 96$ 

%Regularität

 $g^*_{H,rel} = -385$  $g^*_{C,rel} = 62$ SG200-7, 5 stufige Reihen für konstanten CIELAB Buntton  $34/360 = 0.095$  (links)BAM-Prüfvorlage SG20; Farbmatrik-Systeme ORS18 & ORS18 input: *cmY0\* setcmykcolor*

A: Koordinatensysteme; 5stufige Farbreihen für 10 Bunttöne

Ausgabe: Farbmatisches Fernseh-Licht-System TLS00

für Buntton  $h^* = lab \cdot h = 35/360 = 0.096$  $LAB \cdot LCH$ ,  $LAB \cdot NCH$ 

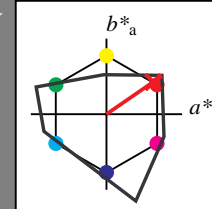
D65: Buntton R

LCH\*Ma: 66 89 35

olv\*Ma: 1.0 0.0 0.01

TLS00; adaptierte CIELAB-Daten

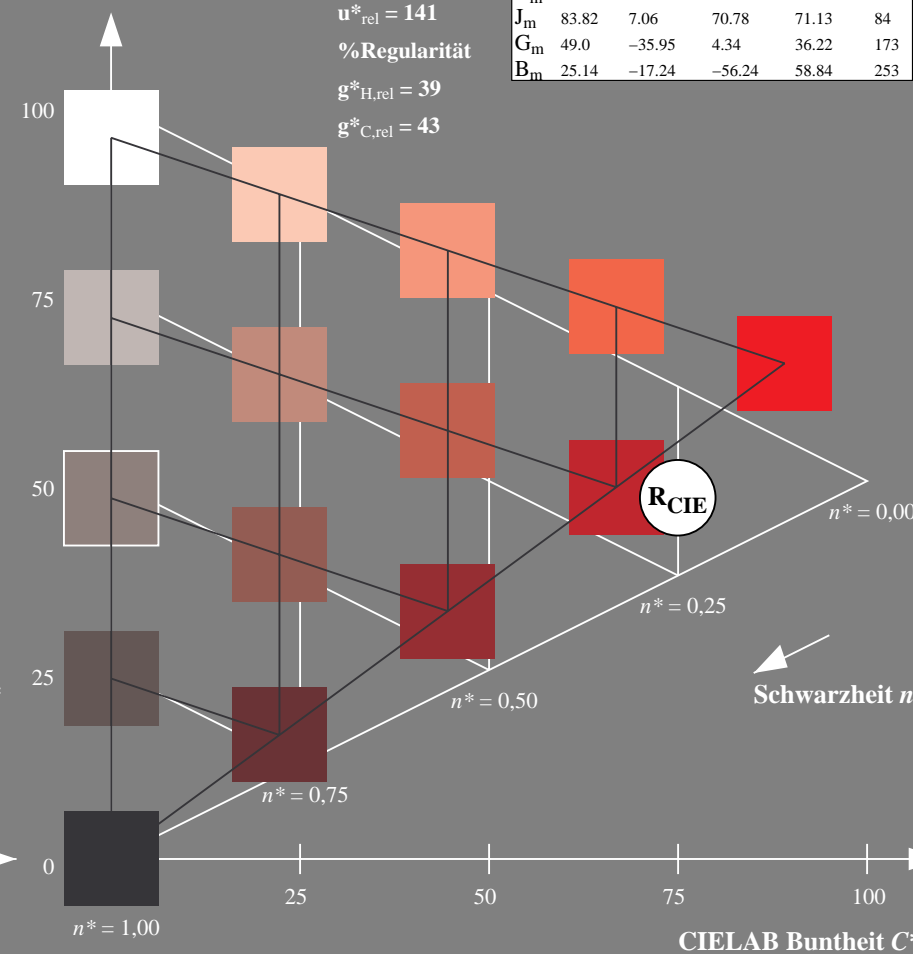
	$L^*=L^*_a$	$a^*_a$	$b^*_a$	$C^*_{ab,a}$	$h^*_{ab,a}$
O <sub>m</sub>	65.56	73.34	51.39	89.55	35
Y <sub>m</sub>	94.78	-3.49	52.24	52.36	94
L <sub>m</sub>	77.48	-92.97	36.0	99.71	159
C <sub>m</sub>	78.36	-82.69	-22.74	85.77	195
V <sub>m</sub>	12.55	38.81	-114.81	121.2	289
M <sub>m</sub>	66.71	76.08	-29.8	81.71	339
N <sub>m</sub>	0.01	0.0	0.0	0.0	0
W <sub>m</sub>	95.41	0.0	0.0	0.0	0
R <sub>m</sub>	47.79	61.74	42.56	74.99	35
J <sub>m</sub>	83.82	7.06	70.78	71.13	84
G <sub>m</sub>	49.0	-35.95	4.34	36.22	173
B <sub>m</sub>	25.14	-17.24	-56.24	58.84	253

CIELAB-Helligkeit  $L^*$ 

%Umfang

 $u^*_{rel} = 141$ 

%Regularität

 $g^*_{H,rel} = 39$  $g^*_{C,rel} = 43$ 5 stufige Reihen für konstanten CIELAB Buntton  $35/360 = 0.096$  (rechts)output: *Startup (S) data dependend*



Eingabe: Farbmétrisches Offset-Reflektiv-System ORS18

für Buntton  $h^* = lab \cdot h = 84/360 = 0.235$  $lab \cdot tch$  und  $lab \cdot nch$ 

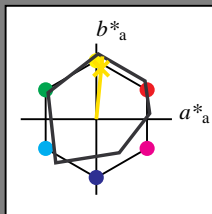
D65: Buntton J

LCH\*Ma: 89 83 84

olv\*Ma: 1.0 0.91 0.0

ORS18; adaptierte CIELAB-Daten

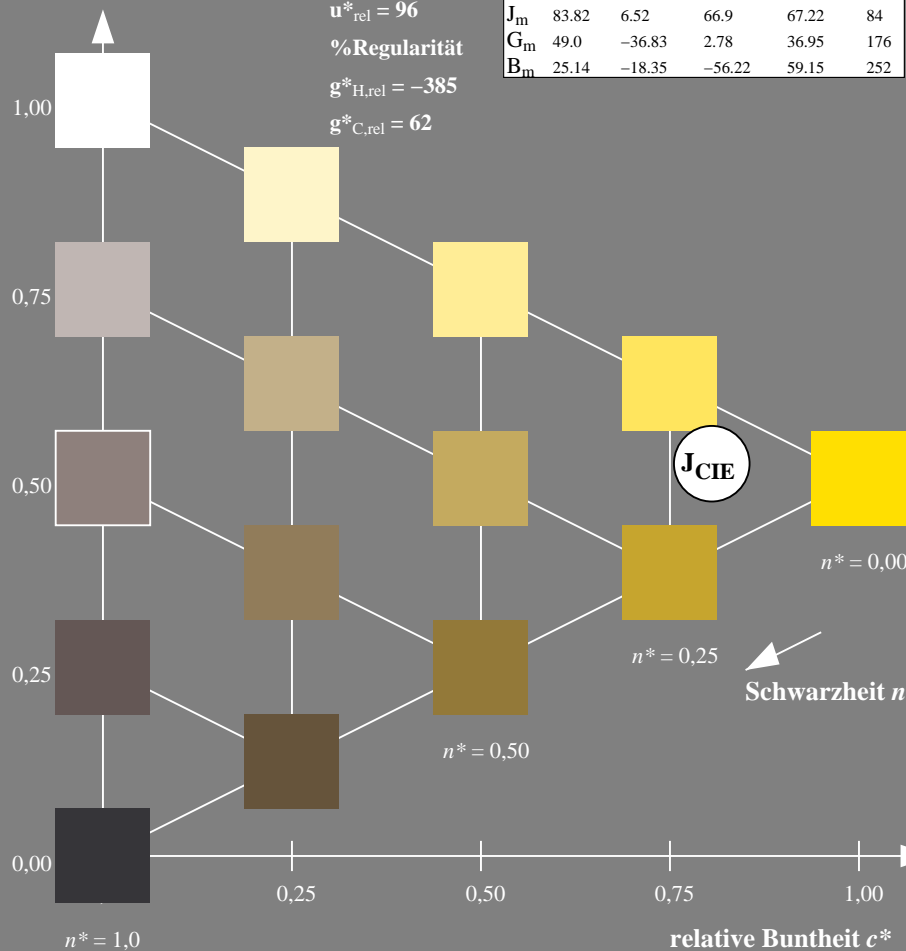
	$L^*=L^*_a$	$a^*_a$	$b^*_a$	$C^*_{ab,a}$	$h^*_{ab,a}$
O <sub>m</sub>	47.94	64.42	50.58	81.9	38
Y <sub>m</sub>	92.62	2.41	86.36	86.39	88
L <sub>m</sub>	50.9	-63.82	35.02	72.81	151
C <sub>m</sub>	51.25	-53.68	-57.69	78.82	227
V <sub>m</sub>	25.72	30.34	-44.37	53.76	304
M <sub>m</sub>	56.25	70.59	7.57	70.99	6
N <sub>m</sub>	18.11	0.0	0.0	0.0	0
W <sub>m</sub>	95.6	0.0	0.0	0.0	0
R <sub>m</sub>	47.79	60.85	41.08	73.41	34
J <sub>m</sub>	83.82	6.52	66.9	67.22	84
G <sub>m</sub>	49.0	-36.83	2.78	36.95	176
B <sub>m</sub>	25.14	-18.35	-56.22	59.15	252

Dreiecks-Helligkeit  $t^*$ 

%Umfang

 $u^*_{rel} = 96$ 

%Regularität

 $g^*_{H,rel} = -385$  $g^*_{C,rel} = 62$ 

SG200-7, 5 stufige Reihen für konstanten CIELAB Buntton 84/360 = 0.235 (links)

BAM-Prüfvorlage SG20; Farbmétrik-Systeme ORS18 & ORS18 input: *cmv0\* setcmykcolor*

A: Koordinatensysteme; 5stufige Farbreihen für 10 Bunttöne

Ausgabe: Farbmétrisches Fernseh-Licht-System TLS00

für Buntton  $h^* = lab \cdot h = 84/360 = 0.234$  $LAB \cdot LCH$ ,  $LAB \cdot NCH$ 

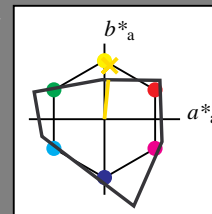
D65: Buntton J

LCH\*Ma: 91 52 84

olv\*Ma: 1.0 0.89 0.0

TLS00; adaptierte CIELAB-Daten

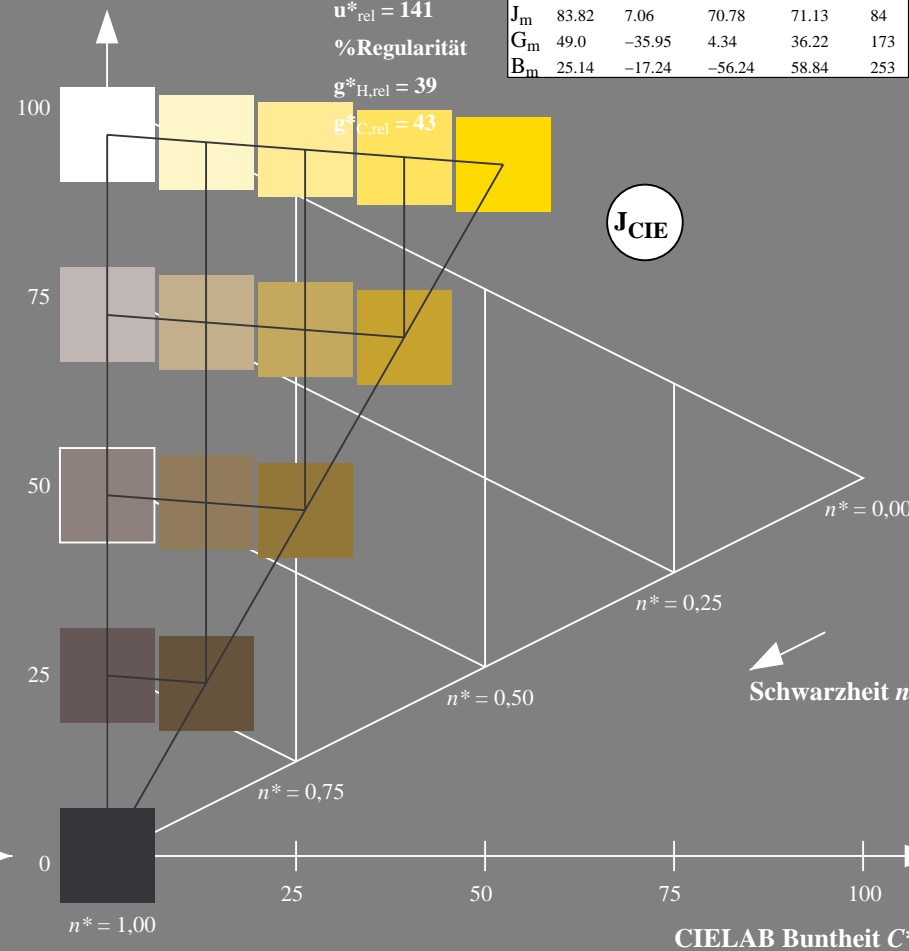
	$L^*=L^*_a$	$a^*_a$	$b^*_a$	$C^*_{ab,a}$	$h^*_{ab,a}$
O <sub>m</sub>	65.56	73.34	51.39	89.55	35
Y <sub>m</sub>	94.78	-3.49	52.24	52.36	94
L <sub>m</sub>	77.48	-92.97	36.0	99.71	159
C <sub>m</sub>	78.36	-82.69	-22.74	85.77	195
V <sub>m</sub>	12.55	38.81	-114.81	121.2	289
M <sub>m</sub>	66.71	76.08	-29.8	81.71	339
N <sub>m</sub>	0.01	0.0	0.0	0.0	0
W <sub>m</sub>	95.41	0.0	0.0	0.0	0
R <sub>m</sub>	47.79	61.74	42.56	74.99	35
J <sub>m</sub>	83.82	7.06	70.78	71.13	84
G <sub>m</sub>	49.0	-35.95	4.34	36.22	173
B <sub>m</sub>	25.14	-17.24	-56.24	58.84	253

CIELAB-Helligkeit  $L^*$ 

%Umfang

 $u^*_{rel} = 141$ 

%Regularität

 $g^*_{H,rel} = 39$  $g^*_{C,rel} = 43$ 

5 stufige Reihen für konstanten CIELAB Buntton 84/360 = 0.234 (rechts)

output: *Startup (S) data dependend*



Eingabe: Farbmétrisches Offset-Reflektiv-System ORS18

für Buntton  $h^* = lab \cdot h = 176/360 = 0,488$  $lab \cdot tch$  und  $lab \cdot nch$ 

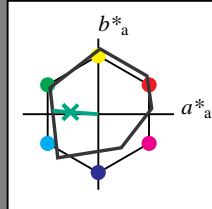
D65: Buntton G

LCH\*Ma: 51 61 176

olv\*Ma: 0.0 1.0 0.33

ORS18; adaptierte CIELAB-Daten

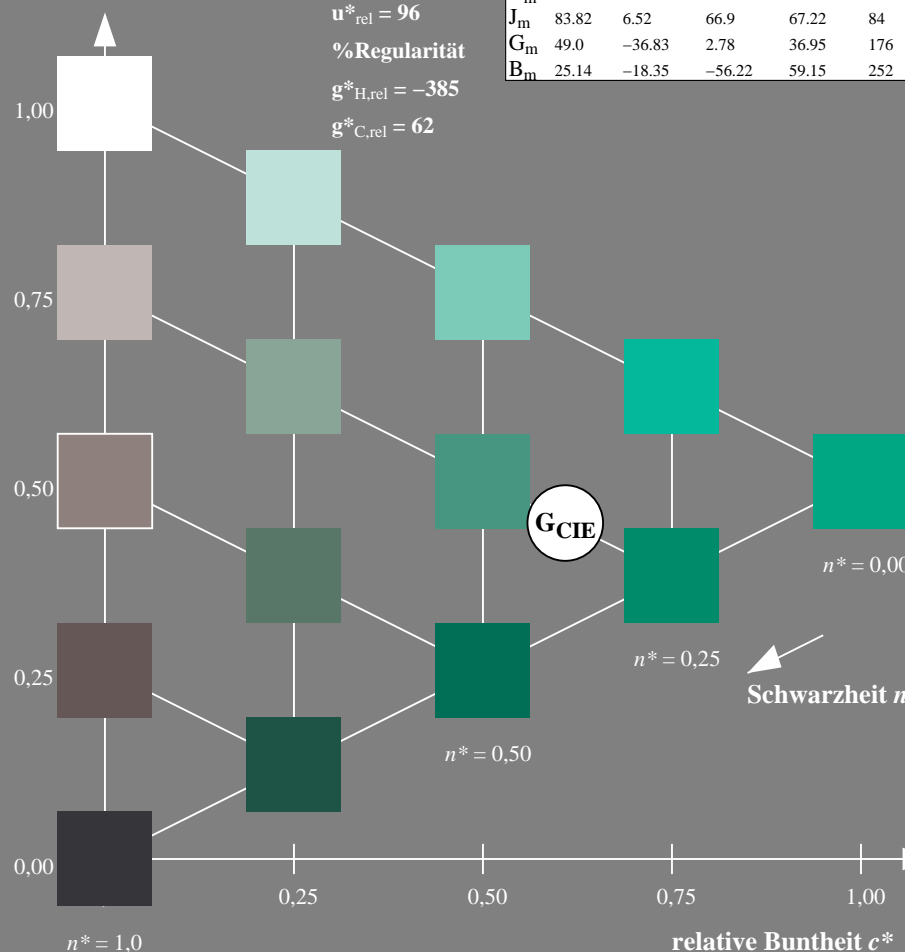
	$L^*=L^*_a$	$a^*_a$	$b^*_a$	$C^*_{ab,a}$	$h^*_{ab,a}$
O <sub>m</sub>	47.94	64.42	50.58	81.9	38
Y <sub>m</sub>	92.62	2.41	86.36	86.39	88
L <sub>m</sub>	50.9	-63.82	35.02	72.81	151
C <sub>m</sub>	51.25	-53.68	-57.69	78.82	227
V <sub>m</sub>	25.72	30.34	-44.37	53.76	304
M <sub>m</sub>	56.25	70.59	7.57	70.99	6
N <sub>m</sub>	18.11	0.0	0.0	0.0	0
W <sub>m</sub>	95.6	0.0	0.0	0.0	0
R <sub>m</sub>	47.79	60.85	41.08	73.41	34
J <sub>m</sub>	83.82	6.52	66.9	67.22	84
G <sub>m</sub>	49.0	-36.83	2.78	36.95	176
B <sub>m</sub>	25.14	-18.35	-56.22	59.15	252

Dreiecks-Helligkeit  $t^*$ 

%Umfang

 $u^*_{rel} = 96$ 

%Regularität

 $g^*_{H,rel} = -385$  $g^*_{C,rel} = 62$ SG200-7, 5 stufige Reihen für konstanten CIELAB Buntton  $176/360 = 0,488$  (links)BAM-Prüfvorlage SG20; Farbmétrik-Systeme ORS18 & ORS18 input: *cmY0\* setcmykcolor*

A: Koordinatensysteme; 5stufige Farbreihen für 10 Bunttöne

Ausgabe: Farbmétrisches Fernseh-Licht-System TLS00

für Buntton  $h^* = lab \cdot h = 173/360 = 0,481$  $LAB \cdot LCH$ ,  $LAB \cdot NCH$ 

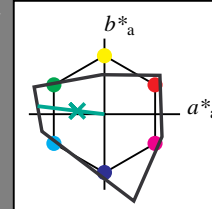
D65: Buntton G

LCH\*Ma: 78 89 173

olv\*Ma: 0.0 1.0 0.43

TLS00; adaptierte CIELAB-Daten

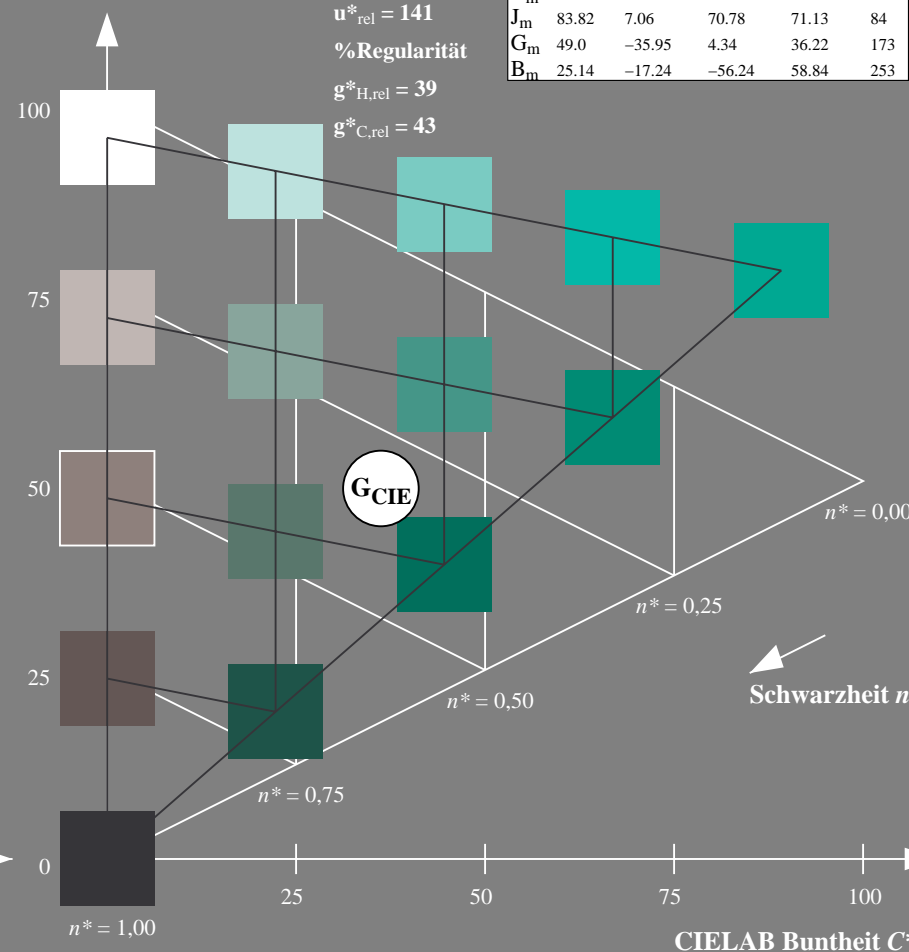
	$L^*=L^*_a$	$a^*_a$	$b^*_a$	$C^*_{ab,a}$	$h^*_{ab,a}$
O <sub>m</sub>	65.56	73.34	51.39	89.55	35
Y <sub>m</sub>	94.78	-3.49	52.24	52.36	94
L <sub>m</sub>	77.48	-92.97	36.0	99.71	159
C <sub>m</sub>	78.36	-82.69	-22.74	85.77	195
V <sub>m</sub>	12.55	38.81	-114.81	121.2	289
M <sub>m</sub>	66.71	76.08	-29.8	81.71	339
N <sub>m</sub>	0.01	0.0	0.0	0.0	0
W <sub>m</sub>	95.41	0.0	0.0	0.0	0
R <sub>m</sub>	47.79	61.74	42.56	74.99	35
J <sub>m</sub>	83.82	7.06	70.78	71.13	84
G <sub>m</sub>	49.0	-35.95	4.34	36.22	173
B <sub>m</sub>	25.14	-17.24	-56.24	58.84	253

CIELAB-Helligkeit  $L^*$ 

%Umfang

 $u^*_{rel} = 141$ 

%Regularität

 $g^*_{H,rel} = 39$  $g^*_{C,rel} = 43$ 5 stufige Reihen für konstanten CIELAB Buntton  $173/360 = 0,481$  (rechts)output: *Startup (S) data dependend*

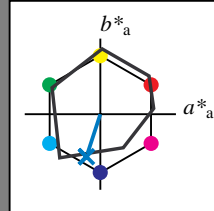
Eingabe: Farbmatisches Offset-Reflektiv-System ORS18

für Buntton  $h^* = lab^*h = 252/360 = 0,7$  $lab^*tch$  und  $lab^*nch$ 

D65: Buntton B

LCH\*Ma: 40 55 252

olv\*Ma: 0.0 0.56 1.0

Dreiecks-Helligkeit  $t^*$ 

%Umfang

 $u^*_{rel} = 96$ 

%Regularität

 $g^*_{H,rel} = -385$  $g^*_{C,rel} = 62$ 

ORS18; adaptierte CIELAB-Daten

	$L^*=L^*_a$	$a^*_a$	$b^*_a$	$C^*_{ab,a}$	$h^*_{ab,a}$
O <sub>m</sub>	47.94	64.42	50.58	81.9	38
Y <sub>m</sub>	92.62	2.41	86.36	86.39	88
L <sub>m</sub>	50.9	-63.82	35.02	72.81	151
C <sub>m</sub>	51.25	-53.68	-57.69	78.82	227
V <sub>m</sub>	25.72	30.34	-44.37	53.76	304
M <sub>m</sub>	56.25	70.59	7.57	70.99	6
N <sub>m</sub>	18.11	0.0	0.0	0.0	0
W <sub>m</sub>	95.6	0.0	0.0	0.0	0
R <sub>m</sub>	47.79	60.85	41.08	73.41	34
J <sub>m</sub>	83.82	6.52	66.9	67.22	84
G <sub>m</sub>	49.0	-36.83	2.78	36.95	176
B <sub>m</sub>	25.14	-18.35	-56.22	59.15	252

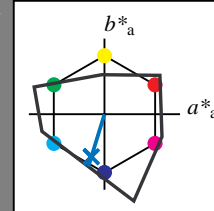
Ausgabe: Farbmatisches Fernseh-Licht-System TLS00

für Buntton  $h^* = lab^*h = 253/360 = 0,703$  $LAB^*LCH, LAB^*NCH$ 

D65: Buntton B

LCH\*Ma: 45 72 253

olv\*Ma: 0.0 0.49 1.0

CIELAB-Helligkeit  $L^*$ 

%Umfang

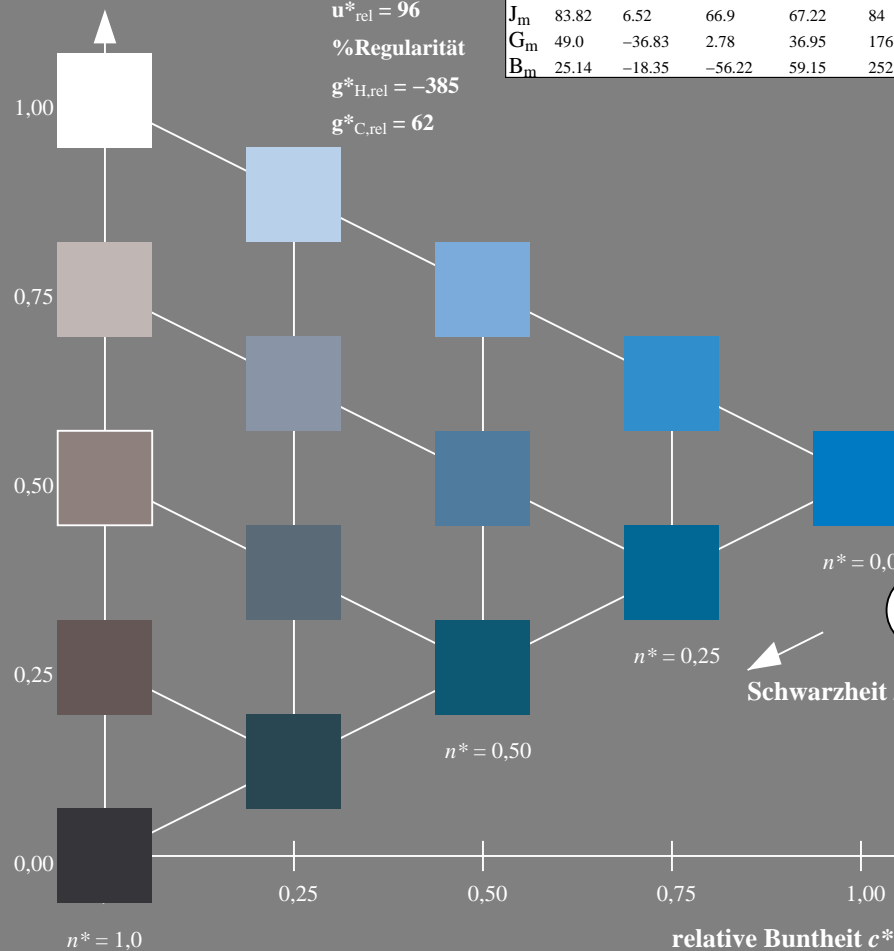
 $u^*_{rel} = 141$ 

%Regularität

 $g^*_{H,rel} = 39$  $g^*_{C,rel} = 43$ 

TLS00; adaptierte CIELAB-Daten

	$L^*=L^*_a$	$a^*_a$	$b^*_a$	$C^*_{ab,a}$	$h^*_{ab,a}$
O <sub>m</sub>	65.56	73.34	51.39	89.55	35
Y <sub>m</sub>	94.78	-3.49	52.24	52.36	94
L <sub>m</sub>	77.48	-92.97	36.0	99.71	159
C <sub>m</sub>	78.36	-82.69	-22.74	85.77	195
V <sub>m</sub>	12.55	38.81	-114.81	121.2	289
M <sub>m</sub>	66.71	76.08	-29.8	81.71	339
N <sub>m</sub>	0.01	0.0	0.0	0.0	0
W <sub>m</sub>	95.41	0.0	0.0	0.0	0
R <sub>m</sub>	47.79	61.74	42.56	74.99	35
J <sub>m</sub>	83.82	7.06	70.78	71.13	84
G <sub>m</sub>	49.0	-35.95	4.34	36.22	173
B <sub>m</sub>	25.14	-17.24	-56.24	58.84	253



SG200-7, 5 stufige Reihen für konstanten CIELAB Buntton 252/360 = 0.7 (links)

BAM-Prüfvorlage SG20; Farbmatrik-Systeme ORS18 & ORS18 input: *cmY0\* setcmykcolor*

A: Koordinatensysteme; 5stufige Farbreihen für 10 Bunttöne

5 stufige Reihen für konstanten CIELAB Buntton 253/360 = 0.703 (rechts)

output: *Startup (S) data dependend*